

جایابی و تعیین اندازه SVC و TCSC جهت بهبود شرایط بهره‌برداری سیستم‌های قدرت با استفاده از الگوریتم جستجوی کلاغ

^{۱*} نوراله نوری نژاد

noori478@yahoo.com
تاریخ دریافت ۱۳۹۸/۰۴/۰۳
تاریخ پذیرش ۱۳۹۸/۰۶/۱۱

چکیده: نیاز به سیستم‌های قدرت کارآمدتر موجب نیاز به استفاده از تکنولوژی‌های جدیدی همچون تجهیزات سیستم انتقال جریان متناوب انعطاف‌پذیر (FACTS) شده است. ادوات FACTS فرصت جدیدی برای کنترل توان عبوری خطوط و حداقل‌سازی تلفات به همراه حفظ ولتاژ شین‌ها در محدوده مجاز فراهم می‌کنند. در این مقاله، روشی جدید برای جایابی و تعیین اندازه بهینه خازن سری کنترل‌شونده با تریستور (TCSC) و جبران‌کننده استاتیک توان راکتیو (SVC) جهت بهبود شرایط بهره‌برداری سیستم‌های قدرت با استفاده از الگوریتم جستجوی کلاغ ارائه شده است. مکان بهینه نصب SVC و TCSC به ترتیب بر اساس توان‌های عبوری راکتیو خطوط و شاخص مجاورت فروپاشی ولتاژ (VCPI) تعیین می‌شوند. ظرفیت بهینه ادوات FACTS به همراه توان راکتیو واحدهای تولیدی و تپ بهینه ترانسفورماتورها، با حل یک مسئله بهینه‌سازی محاسبه می‌شوند.تابع هدف به صورت حداقل‌سازی مجموع هزینه‌های شبکه شامل هزینه‌های تلفات انرژی و هزینه‌های ادوات FACTS تعریف شده است. الگوریتم جستجوی کلاغ یک روش بهینه‌سازی فرآبتكاری جدید است که از رفتار هوشمند کلاغ‌ها در ذخیره‌سازی و بازیابی غذا الهام گرفته شده است، که در این تحقیق برای اولین بار جهت جایابی و تعیین اندازه SVC و TCSC استفاده شده است. روش پیشنهادی بر روی شبکه‌های نمونه ۳۰ شینه و ۵۷ شینه IEEE در محیط MATLAB شبیه‌سازی شده است. نتایج شبیه‌سازی نشان می‌دهد که الگوریتم جستجوی کلاغ ضمن برآورده‌سازی تمامی قیود فنی، به سمت پاسخ بهینه همگرا شده و موجب بهبود کارایی سیستم قدرت می‌گردد.

واژه‌های کلیدی: سیستم انتقال جریان متناوب انعطاف‌پذیر (FACTS)، خازن سری کنترل‌شونده با تریستور (TCSC)، جبران‌کننده استاتیک توان راکتیو (SVC)، شاخص مجاورت فروپاشی ولتاژ (VCPI)، الگوریتم جستجوی کلاغ.

ظرفیت خطوط کمک شایانی می‌نماید. در صورت نصب تجهیزات مذکور در محل و یا در ظرفیت‌های نامناسب فقط هزینه نصب این تجهیزات به شبکه تحمیل می‌گردد. لذا ضروری است در این خصوص تحقیقات مناسبی انجام پذیرد. در این مقاله به این مهم پرداخته شده است.

مرجع [۱۲]، جایابی و تعیین اندازه STATCOM با هدف کمینه‌سازی انحراف ولتاژ شین‌ها و (بهبود پروفیل ولتاژ) فرمول بندی شده و با روش الگوریتم بهینه سازی ازدحام ذرات بهبود یافته (IPSO) حل شده است. در مرجع [۱۳]، جهت برنامه‌ریزی توان

۱- مقدمه

از منظر ساختاری، سیستم قدرت به طور سنتی به سه بخش تولید، انتقال و توزیع تقسیم‌بندی می‌شود. انرژی تولیدی نیروگاه‌های مرکزی با ظرفیت‌های بالا از طریق شبکه انتقال، به شبکه توزیع جهت مصرف تحويل داده می‌شود. در مسیر انتقال انرژی که با صرف هزینه‌های زیاد تجهیزاتی همراه است، هزینه‌های تلفات انرژی نیز به شبکه تحمیل می‌گردد. جهت کاهش هزینه‌های سنگین تلفات، نصب ادواتی کنترل کننده توان راکتیو، به کاهش تلفات و بهبود وضعیت ولتاژ و آزادسازی

راکتیو در خطوطی انجام شده که دارای بیشترین توان راکتیو می‌باشدند. همچنین برای نصب SVC، از شاخصی با نام شاخص مجاورت فروپاشی ولتاژ استفاده شده است تا بدین ترتیب با نصب SVC، پایداری ولتاژ در خطوط شبکه افزایش یابد. در این تحقیق همچنین از تنظیم تپ ترانسفورماتورها و تزریق توان راکتیو توسط خازن‌های موازی استفاده شده است.

هدف از این تحقیق جایابی و تعیین اندازه بهینه TCSC و SVC بهبود شرایط بهره‌برداری سیستم‌های قدرت با استفاده از الگوریتم جستجوی کلاغ بوده ضمن اینکه میزان انحراف ولتاژ نسبت به تحقیقات قبلی کاسته شده، همچنین تلفات اکتیو و راکتیو شبکه و نیز هزینه‌های کلی شبکه کاهش یابد.

به عنوان نوآوری نسبت به مرجع [۱]، از الگوریتم جستجوی کلاغ برای حل مسئله بهینه‌سازی در این تحقیق استفاده خواهد شد. الگوریتم جستجوی کلاغ یکی از جدیدترین روش‌های بهینه سازی فرالبتکاری است که از رفتار کلاغ‌ها در یافتن غذایی که سایرین پنهان کرده‌اند، الهام گرفته شده است. شبیه‌سازی روش فوق بر روی شبکه‌های تست ۳۰ شینه و ۵۷ شینه در IEEE نرمافزار MATLAB انجام می‌گیرد و تاثیر نصب SVC و TCSC بر هزینه، تلفات و ولتاژ شبکه مورد بررسی قرار می‌گیرد. همچنین به منظور بررسی کارایی الگوریتم جستجوی کلاغ، نتایج حاصل از شبیه‌سازی با نتایج حاصل از الگوریتم بهینه‌سازی وال [۱] مقایسه خواهد شد.

۲- فرمول‌بندی مسئله

در این بخش ضمن معرفی ادوات FACTS، مسئله تعیین مکان و ظرفیت بهینه این ادوات، مورد بررسی قرار می‌گیرد. پس از مدل سازی SVC و TCSC روش جایابی و تعیین اندازه SVC و TCSC به ترتیب به کمک تعیین خطوطی که دارای بیشترین بار راکتیو هستند و شاخص مجاورت فروپاشی ولتاژ VCPI از طریق معادلات پخش بار معرفی می‌گردد. همچنین روش تعیین هزینه تلفات انرژی و هزینه نصب ادوات و در نهایت قیود مساوی و نامساوی حل مسئله بهینه سازی ارائه خواهد شد.

۱-۲- معرفی ادوات FACTS

از منظور تاریخی ادوات FACTS به سه نسل تقسیم می‌شوند:

- نسل اول ادوات FACTS

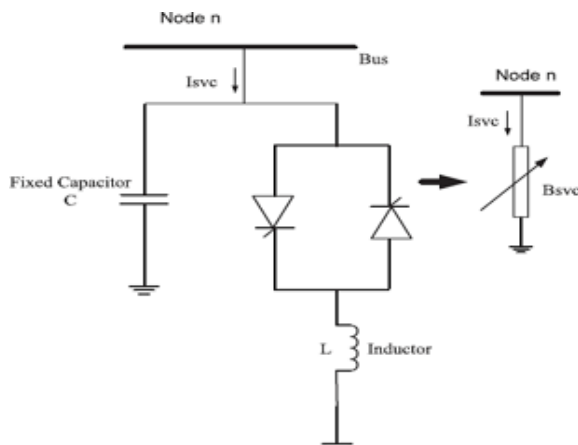
- Thyristor Controlled (Device) می‌باشند. SVC، TCSC و TCPS شامل نسل اول هستند.

- نسل دوم ادوات FACTS

این نسل مبتنی کانوتورهای استاتیک (Static Converter Based Device) می‌باشند. SSSC و STATCOM جزو نسل دوم هستند.

راکتیو در سیستم قدرت از نصب SVC و TCSC استفاده شده است که در آن برای جایابی SVC از روش فازی و برای جایابی TCSC از روش تحلیلی مبتنی بر پخش بار بهره گیری شده است. برای کمینه سازی هزینه تلفات انرژی و هزینه سرمایه گذاری نصب ادوات FACTS از یک روش ترکیبی بر پایه الگوریتم ژنتیک (GA)، الگوریتم تکامل تفاضلی (DE) و منطق فازی استفاده شده است. در مرجع [۱۴]، مسئله جایابی ادوات FACTS و UPFC با هدف حداقل سازی انحراف ولتاژ، بیشینه سازی قابلیت انتقال توان و نیز بیشینه سازی پایداری در سیستم قدرت از روش تحلیل حساسیت و روش الگوریتم ژنتیک استفاده شده است. در مرجع [۱۵] ظرفیت بهینه SVC و TCSC با هدف کمینه سازی هزینه های شبکه (هزینه تلفات انرژی و هزینه سرمایه گذاری نصب SVC و TCSC) با الگوریتم جستجوی گرانشی (GSA)، تعیین شده است. در مرجع [۱۶]، در مورد نصب SVC و TCSC کار شده است، محل نصب SVC در شین‌های با ولتاژ‌های ضعیف و محل نصب TCSC در خطوط با ظرفیت آنها با هدف راکتیو در نظر گرفته شده است و برای تعیین ظرفیت آنها با هدف کمینه سازی هزینه‌های شبکه از روش ترکیبی فازی و الگوریتم ژنتیک استفاده شده است. در مرجع [۱۷]، مسئله جایابی و تعیین اندازه SVC و TCSC به منظور بهبود قابلیت بارگذاری در شبکه انتقال با هدف کمینه سازی هزینه نصب تجهیزات و هزینه تلفات انرژی از الگوریتم جستجوی گرانشی (GSA) استفاده شده است. در مرجع [۱۸]، به منظور برنامه‌ریزی توان راکتیو از نصب SVC و TCSC استفاده شده است. علاوه بر SVC و TCSC راکتیو تولیدی توسط ژنراتورها و خازن‌های موازی و توزیع تپ ترانسفورماتورها استفاده شده است. برای جایابی ادوات FACTS از سه روش بهینه‌سازی ازدحام ذرات ساده شده (SPSO)، بهینه‌سازی اجتماع ذرات تطبیقی (APSO) و بهینه‌سازی اجتماع ذرات تکاملی (EPSO) استفاده شده است. در مرجع [۲۳] مسئله تعیین مکان و اندازه SVC و TCSC بررسی شده است. تابع هدف مسئله بهینه سازی شامل دو بخش می‌باشد که حداکثرسازی هدف مسئله بهینه سازی شامل دو بخش می‌باشد که حداکثرسازی پایداری ولتاژ و حداقل سازی انحراف ولتاژ در آن لحاظ شده است. برای حل مسئله بهینه سازی، از الگوریتم تکاملی تطبیقی (AEA) استفاده شده است. در مرجع [۲۶] تعیین مکان و ظرفیت بهینه TCSC مورد بررسی قرار گرفته است. تابع هدف مسئله بهینه سازی به صورت ترکیبی از حداقل سازی تلفات، حداقل سازی انحراف ولتاژ و حداقل سازی هزینه نصب TCSC تعریف شده است.

برای حل مسئله بهینه سازی در این تحقیق از سه روش استفاده شده است: بهینه‌سازی اجتماع ذرات (PSO)، بهینه‌سازی مبتنی بر آموزش و یادگیری (TLBO) و کلونی مصنوعی زنبور عسل (ABC). در مرجع [۱] تعیین مکان و ظرفیت بهینه نصب SVC و TCSC در شبکه قدرت مورد مطالعه قرار گرفته است. نصب



شکل ۲: مدل استاتیک SVC [۱]

۲-۴- شاخص مجاورت فروپاشی ولتاژ VCPI

شاخص مجاورت فروپاشی ولتاژ (VCPI) بر اساس مفهوم حداقل توان قابل انتقال در خطوط، به صورت رابطه (۱) تعریف می‌شود. شاخص VCPI دارای مقداری بین صفر و یک می‌باشد. به منظور حفظ پایداری ولتاژ در شبکه، VCPI باید دارای مقداری کمتر از یک باشد. [۱].

$$VCPI = \frac{P_r}{P_{r(max)}} \quad (1)$$

VCPI: شاخص مجاورت فروپاشی ولتاژ

P_r : توان اکتیو عبوری خط در سمت دریافت

$P_{r(max)}$: حداقل توان قابل انتقال به بار مصرفی در سمت دریافت (انتهای خط)

۲-۵-تابع هدف مسئله بهینه سازی

در این بخش، مدلسازی مسئله بهینه سازی با هدف حداقل سازی هزینه های شبکه انجام گرفته و ظرفیت بهینه نصب SVC و TCSC به همراه سایر متغیر های بهره برداری شبکه، به دست خواهد آمد. هزینه های شبکه شامل دو بخش می باشند [۱]:

۱-هزینه های ادوات FACTS

۲-هزینه های تلفات انرژی

هزینه تولید توان راکتیو ژنراتورها و خازن های موازی و نیز تنظیم تپ ترانسفورماتورها در محدوده مجاز عملکردی آنها، هزینه ای بر شبکه تحمیل نخواهد کرد. همچنین نصب ادوات FACTS بر برنامه ریزی تامین توان راکتیو شبکه تاثیرگذار بوده و تاثیری بر توانهای اکتیو تولیدی واحدها نخواهد داشت. بنابراین مطابق روش ارائه شده در مرجع [۱] ، هزینه تلفات انرژی در نظر گرفته شده، اما هزینه تولید توان توسط ژنراتورها در مدلسازی مسئله بهینه سازی لحاظ نخواهد شد. تابع هدف مسئله بهینه سازی که به صورت حداقل سازی هزینه های سالیانه شبکه قدرت است، به صورت رابطه (۲) تعریف می شود [۱]:

۳- نسل سوم ادوات FACTS

این نسل شامل ادوات FACTS ترکیبی است. UPFC و IPFC شامل نسل سوم هستند. از دید اتصال به شبکه نیز این ادوات به سه دسته تقسیم بندی می شوند:

ادوات FACTS موازی [۲،۱،۴]

ادوات FACTS موازی، یک امپدانس یا یک مبدل منبع ولتاژ (VSC) هستند که به صورت موازی به شبکه متصل می شوند. محل اتصال آنها در شین های شبکه، انتهای خطوط یا حتی در وسط خطوط شبکه می باشد. متدالولترین ادوات FACTS موازی، TCR، SVC و STATCOM می باشند.

ادوات FACTS سری [۷،۶،۴]

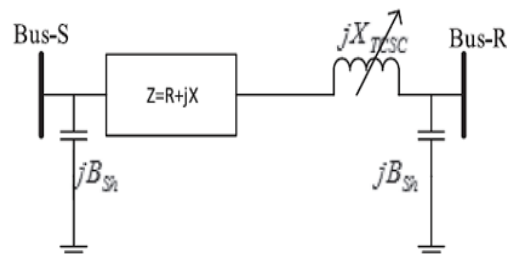
ادوات FACTS سری، یک بانک خازنی یا یک بانک سلفی (راکتوری) هستند که با یک تریستور کنترل شونده یا تریستور کلیدی، ترکیب شده اند. متدالولترین ادوات FACTS سری SSSC، TCSC، و TCPST می باشند.

ادوات FACTS سری-موازی (ترکیبی) [۷،۶،۴]

در ادوات FACTS ترکیبی، ویژگی های ادوات سری و موازی با یکدیگر ترکیب شده تا بدین ترتیب، توانایی کنترلی این تجهیزات افزایش یابد. متدالولترین ادوات FACTS ترکیبی، IPFC، UPFC و DFC می باشند.

۲-۲- مدلسازی TCSC

مدل استاتیک خازن سری کنترل شونده با تریستور (TCSC) در شکل (۱) نمایش داده شده است. در این شکل، خط انتقال توسط مدل π نمایش داده شده که شامل یک امپدانس سری $Z = R + jX$ و دو سوسپیتانس موازی A در دو سر خط می باشد.



شکل ۱: مدل استاتیک TCSC [۱]

۲-۳- مدلسازی SVC

مدل استاتیک جبران کننده استاتیک توان راکتیو (SVC) در شکل (۲) نمایش داده شده است. SVC از مجموعه ای از خازن ها و راکتورها (سلف) تشکیل شده که توسط کلیدهای تریستوری، کنترل می شوند. از دید محاسبات پخش بار و مشابه با سمت راست شکل (۲)، SVC مشابه با یک سوسپیتانس متغیر موازی B_{SVC} مدلسازی می شود.

قیود تعادل توان‌های اکتیو و راکتیو به ترتیب در روابط (۶) و (۷)

ارائه شده است. [۱]:

$$P_{G_s} - P_{D_s} - V_s \sum_{r=1}^{N_B} V_r [G_{sr} \cos(\delta_{sr}) + B_{sr} \sin(\delta_{sr})] = 0 \quad (6)$$

$$Q_{G_s} - Q_{D_s} - V_s \sum_{r=1}^{N_B} V_r [G_{sr} \sin(\delta_{sr}) + B_{sr} \cos(\delta_{sr})] = 0 \quad (7)$$

P_{G_s} : توان اکتیو تولیدی در شین شماره s

P_{D_s} : توان اکتیو مصرفی در شین شماره s

N_B : تعداد کل شین‌های شبکه

V_s : اندازه ولتاژ شین شماره s

V_r : اندازه ولتاژ شین شماره r

G_{sr} : کندوکتانس خط sr

B_{sr} : سوسپیتانس خط sr

δ_{sr} : اختلاف زاویه ولتاژ در دو سر خط sr

قیود نامساوی بر اساس روابط (۸) الی (۱۲) ارائه شده است. [۱]:

$$V_i^{\min} \leq V_i \leq V_i^{\max} \quad (8)$$

$$Q_{G_i}^{\min} \leq Q_{G_i} \leq Q_{G_i}^{\max} \quad (9)$$

$$T_i^{\min} \leq T_i \leq T_i^{\max} \quad (10)$$

$$SVC_i^{\min} \leq SVC_i \leq SVC_i^{\max} \quad (11)$$

$$TCSC_i^{\min} \leq TCSC_i \leq TCSC_i^{\max} \quad (12)$$

$$\min\{Cost_{\text{Total}}\} = C_{\text{Energy}} + C_{\text{FACTS}} \quad (2)$$

C_{Energy} : مجموع هزینه‌های شبکه قدرت

C_{Energy} : هزینه تلفات انرژی

C_{FACTS} : هزینه ادوات C_{FACTS}

در رابطه فوق، تمامی هزینه‌ها از جنس هزینه‌های سالیانه می‌باشند. هزینه تلفات انرژی (C_{Energy}) بر اساس رابطه (۳) به دست می‌آید. در این رابطه، P_{Loss} به معنای تلفات توان اکتیو شبکه در یک ساعت بر حسب MWh می‌باشد و برای تبدیل آن به از ضریب 1000 استفاده شده است. 0.06 قیمت انرژی الکتریکی است که بر حسب \$/kWh می‌باشد. 365 و 24 نیز به ترتیب تعداد روزهای سال و تعداد ساعت‌های روز می‌باشند. بدین ترتیب بر اساس رابطه (۳)، هزینه سالیانه تلفات انرژی بر حسب مقدار تلفات توان در یک ساعت، محاسبه شده است. تلفات توان اکتیو در شبکه (P_{Loss}) نیز توسط رابطه (۴) و بر اساس نتایج محاسبات پخش بار محاسبه می‌شود. [۱]:

$$C_{\text{Energy}} = P_{\text{Loss}} \times 1000 \times 0.06 \times 365 \times 24 \quad (3)$$

$$P_{\text{Loss}} = \sum_{k=1}^{N_L} [G_k (V_s^2 + V_r^2 - 2V_s V_r \cos \delta_{sr})] \quad (4)$$

G_k : هزینه تلفات انرژی

P_{Loss} : مجموع تلفات توان اکتیو

V_s : ولتاژ ابتدای خط

V_r : ولتاژ انتهای خط

δ_{sr} : اختلاف زاویه ولتاژ ابتداء و

انتهای خط

N_L : تعداد کل خطوط شبکه

برای محاسبه هزینه ادوات FACTS، از رابطه (۵) استفاده می‌شود. [۱]:

$$C_{\text{FACTS}} = \sum [\alpha_{\text{SVC}} S_{\text{SVC}}^2 + \beta_{\text{SVC}} S_{\text{SVC}} + \gamma_{\text{SVC}}] + \sum [\alpha_{\text{TCSC}} S_{\text{TCSC}}^2 + \beta_{\text{TCSC}} S_{\text{TCSC}} + \gamma_{\text{TCSC}}] \quad (5)$$

C_{FACTS} : هزینه ادوات FACTS

α_{SVC} : ضریب درجه دوم هزینه SVC

β_{SVC} : ضریب درجه اول هزینه SVC

γ_{SVC} : ضریب ثابت هزینه SVC

S_{SVC} : ظرفیت نصب شده SVC در هر یک از شین‌ها

α_{TCSC} : ضریب درجه دوم هزینه TCSC

β_{TCSC} : ضریب درجه اول هزینه TCSC

γ_{TCSC} : ضریب ثابت هزینه TCSC

S_{TCSC} : ظرفیت نصب شده TCSC در هر یک از خطوط

V_i : ولتاژ شین شماره i

V_i^{\min} : حداقل ولتاژ در شین شماره i

V_i^{\max} : حداکثر ولتاژ در شین شماره i

Q_{G_i} : توان راکتیو تولیدی ژنراتور شماره i

$Q_{G_i}^{\min}$: حداقل توان راکتیو تولیدی ژنراتور شماره i

$Q_{G_i}^{\max}$: حداکثر توان راکتیو تولیدی ژنراتور شماره i

T_i : تپ ترانسفورماتور شماره i

T_i^{\min} : حداقل تپ ترانسفورماتور شماره i

T_i^{\max} : حداکثر تپ ترانسفورماتور شماره i

SVC_i : سوسپیتانس SVC شماره i

SVC_i^{\min} : حداقل سوسپیتانس SVC شماره i

SVC_i^{\max} : حداکثر سوسپیتانس SVC شماره i

که تاکنون توسط کلاغ شماره i یافت شده است. به عبارت دیگر، هر یک از کلاغ‌ها بهترین موقعیت منبع غذایی که تاکنون داشته‌اند را به خاطر می‌سپارند و همواره به دنبال موقعیت منابع غذایی بهتر هستند [۲]. فرض کنید که در تکرار شماره i -ter، کلاغ شماره j قصد داشته باشد منبع غذایی مخفی خود $(m^{j,iter})$ را بررسی نماید. در این تکرار، کلاغ i تصمیم می‌گیرد کلاغ شماره j را تعقیب نماید تا منبع غذای او را پیدا کند. در چنین شرایطی، دو حالت ممکن است رخ دهد [۲]:

- حالت ۱: کلاغ شماره j متوجه نمی‌شود که کلاغ شماره i او را تعقیب می‌کند. در نتیجه کلاغ i به سمت محل اختفای غذای کلاغ j نزدیک می‌شود. در این حالت، موقعیت جدید کلاغ i توسط رابطه (۱۴) به دست می‌آید:

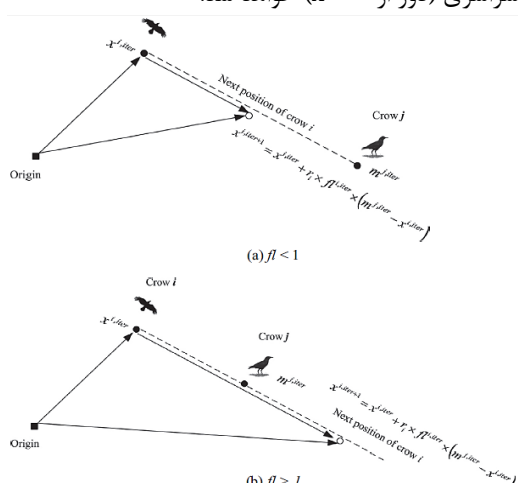
$$x^{i,iter+1} = x^{i,iter} + r_i \times fl^{i,iter} \times (m^{j,iter} - x^{i,iter}) \quad (14)$$

i و j : شمارش گر کلاغ‌ها

i : شمارش گر تکرارهای الگوریتم

$x^{i,iter}$: موقعیت کلاغ شماره i در تکرار شماره i -ter
 r_i : یک عدد تصادفی بین صفر و یک تحت تابع توزیع احتمال یکنواخت

$fl^{i,iter}$: طول پرواز کلاغ شماره i در تکرار شماره i -ter
 $m^{j,iter}$: محل اختفای غذای کلاغ شماره j در تکرار شماره i -ter
 مرحله ۱ الگوریتم جستجوی کلاغ و تاثیر طول پرواز (fl) بر توانایی جستجو، در شکل (۳) نمایش داده شده است. مقادیر کوچکتر fl منجر به جستجوی محلی (در مجاورت $x^{i,iter}$ شده) و مقادیر بزرگتر fl موجب جستجوی سراسری (دور از $x^{i,iter}$) خواهد شد.



شکل ۳: نمایش مرحله ۱ در الگوریتم جستجوی کلاغ [۲]

a: هنگامی که طول پرواز کوچکتر از یک است ($fl < 1$)

b: هنگامی که طول پرواز بزرگتر از یک است ($fl > 1$)

همانطور که در بخش a در این شکل مشاهده می‌شود، در صورتی که طول پرواز کوچکتر از یک باشد ($fl < 1$)،

TCSC_i: راکتانس TCSC شماره i

VD: حداقل راکتانس TCSC_i شماره i

VCSC_i: حداکثر راکتانس TCSC شماره i

به منظور بررسی تأثیر نصب SVC و TCSC بر پروفیل ولتاژ شبکه، از شاخصی با نام شاخص انحراف ولتاژ (VD) استفاده می‌شود. محاسبه شاخص انحراف ولتاژ توسط رابطه (۱۳) صورت می‌گیرد. بر اساس این رابطه، هرچه مقدار ولتاژ شین‌های شبکه به مقدار نامی (یک پریونیت) نزدیک‌تر باشد، مطلوب‌تر بوده و مقدار انحراف ولتاژ کمتر خواهد بود [۱]:

$$VD = \sum_{i=1}^{N_b} |V_i - 1| \quad (13)$$

VD: شاخص انحراف ولتاژ

N_b : تعداد شین‌های شبکه

V_i : ولتاژ شین‌های شماره

i: شمارش گر شین‌های شبک

۳- معرفی الگوریتم جستجوی کلاغ

در بین کلاغ‌ها، رفتاری وجود دارد که بسیار شبیه به یک فرآیند بهینه‌سازی است. در این رفتار، کلاغ‌ها غذای اضافی خود را در مکان‌های مشخصی که از دید سایرین پنهان است، ذخیره می‌کنند و هنگامی که به غذا نیاز داشته باشند، از غذای ذخیره شده استفاده می‌کنند. کلاغ‌ها اصولاً پرندگانی طمع کار هستند و به همین دلیل، یکدیگر را به منظور یافتن منابع غذایی بهتر، تعقیب می‌کنند. پیدا کردن منبع غذای پنهان شده توسط یک کلاغ، کار ساده‌ای نیست، زیرا اگر کلاغ متوجه شود که سایرین او را دنبال می‌کنند، تعقیب‌گر خود را به مکان‌های اشتباهی کشانده و او را گمراه می‌کند. از دیدگاه بهینه‌سازی، الگوریتم جستجوی کلاغ از همانندسازی‌های زیر استفاده می‌کند [۲]. بر اساس شباهت‌های فوق، الگوریتم جستجوی کلاغ سعی در شبیه‌سازی رفتار هوشمند کلاغ‌ها برای یافتن پاسخ بهینه مسئله بهینه‌سازی دارد. [۲].

فرض کنید که یک محیط d-بعدی شامل چندین کلاغ وجود دارد. تعداد کلاغ‌ها (اندازه دسته) برابر با N بوده و موقعیت کلاغ شماره i در فضای جستجو در زمان (تکرار) شماره i -ter، به صورت یک بردار $x^{i,iter} = [x_1^{i,iter}, x_2^{i,iter}, \dots, x_d^{i,iter}]$ نمایش داده می‌شود. در این بردار، d تعداد ابعاد فضای جستجو است که در واقع معادل با تعداد متغیرهای تصمیم‌گیری مسئله بهینه‌سازی می‌باشد. i: شمارش گر تعداد کلاغ‌ها ($i = 1, 2, \dots, N$) و iter ($i = 1, 2, \dots, iter_{max}$) است. هر یک از کلاغ‌ها دارای حافظه‌ای است که در آن، موقعیت محل اختفای غذای خود را به یاد سپرده است. در تکرار شماره i -ter، موقعیت محل اختفای غذای کلاغ شماره i با $m^{i,iter}$ نشان داده می‌شود. موقعیت $m^{i,iter}$ ، بهترین موقعیتی است

گام ۱: تعریف مسئله و تنظیم پارامترها
در این گام، مدلسازی مسئله بهینه‌سازی انجام شده و تابع هدف، قیود و متغیرهای تصمیم‌گیری مسئله بهینه‌سازی تعیین می‌شوند. سپس پارامترهای تنظیمی الگوریتم جستجوی کلاغ شامل اندازه دسته (N)، حداکثر تعداد تکرارها (i^{iter} ، طول پرواز (fl) و احتمال آگاهی (AP_{max}) تعیین می‌شوند [۲].

گام ۲: مقداردهی اولیه موقعیت و حافظه کلاغها
در این گام، ماتریس‌های موقعیت (۱۶) و حافظه کلاغها (۱۷) به طور تصادفی تولید می‌شوند. در تولید مقادیر اولیه موقعیت کلاغها، محدودیتهای حداقل و حداکثر متغیرهای تصمیم‌گیری مسئله رعایت شود [۲]:

Crows =

$$\begin{bmatrix} x_1^1 & x_2^1 & \dots & x_d^1 \\ x_1^2 & x_2^2 & \dots & x_d^2 \\ \vdots & \vdots & x_k^i & \vdots \\ x_1^N & x_2^N & \dots & x_d^N \end{bmatrix} \quad (16)$$

Memory =

$$\begin{bmatrix} m_1^1 & m_2^1 & \dots & m_d^1 \\ m_1^2 & m_2^2 & \dots & m_d^2 \\ \vdots & \vdots & m_k^i & \vdots \\ m_1^N & m_2^N & \dots & m_d^N \end{bmatrix} \quad (17)$$

: شمارش گر کلاغها
N: تعداد کل کلاغها

k: شمارش گر متغیرهای تصمیم‌گیری مسئله
d: تعداد کل متغیرهای تصمیم‌گیری مسئله

Crows: ماتریس موقعیت کلاغها

x_k^i : موقعیت متغیر شماره k برای کلاغ شماره i
Memory: ماتریس حافظه کلاغها
 m_k^i : حافظه متغیر شماره k برای کلاغ شماره i

گام ۳: ارزیابی تابع هدف (تابع ارزیابی)
در این گام، برای هر یک از کلاغها مقدار تابع هدف محاسبه می‌شود [۲].

گام ۴: بهروزرسانی موقعیت کلاغها

در این گام کلاغها موقعیت خود را تغییر می‌دهند. موقعیت جدید کلاغ i توسط رابطه (۱۵) محاسبه می‌شود. این فرآیند برای تمامی کلاغها تکرار می‌شود [۲].

گام ۵: بررسی امکان‌بزیری موقعیت‌های جدید

در این گام، امکان‌بزیری موقعیت جدید هر یک از کلاغها مورد بررسی قرار می‌گیرد تا اطمینان حاصل شود که

موقعیت جدید کلاغ شماره i بر روی خط نقطه‌چین در جایی بین $x^{i,iter}$ و $m^{j,iter}$ خواهد بود. همچنین همانطور که در بخش b در این شکل مشاهده می‌شود، در صورتی که طول پرواز بزرگ‌تر از یک باشد ($fl > 1$)، موقعیت جدید کلاغ شماره i بر روی خط نقطه‌چین در جایی فراتر از $m^{j,iter}$ خواهد بود [۲].

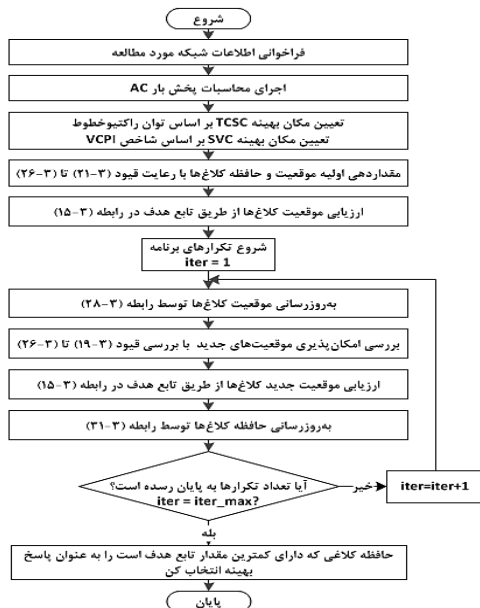
• حالت ۲: کلاغ شماره j متوجه می‌شود که کلاغ شماره i او را تعقیب می‌کند. بنابراین کلاغ j به منظور محافظت از ذخیره غذایی خود در مقابل دستبرد، به موقعیتی دیگر در فضای جستجو رفته و بدین طریق، کلاغ i را گمراه می‌سازد.

با توجه به توضیحات فوق، حالات ۱ و ۲ را می‌توان به طور کلی توسط رابطه (۱۵) مدلسازی نمود. بر اساس رابطه زیر، یک عدد تصادفی r_j تولید شده و اگر مقدار آن از پارامتر $AP^{j,iter}$ بیشتر باشد، به معنای این است که کلاغ شماره j متوجه تعقیب شدن توسط کلاغ i نشده است و در نتیجه، موقعیت جدید کلاغ i محاسبه می‌شود. در غیر این صورت، کلاغ شماره j متوجه تعقیب شدن توسط کلاغ i شده و بنابراین با گمراه کردن او، موقعیت جدید کلاغ i به طور تصادفی در نقطه‌ای از فضای جستجو خواهد بود [۲]:

$x^{i,iter+1} =$

$$\begin{cases} x^{i,iter} + r_i \times fl^{i,iter} \times (m^{j,iter} - x^{i,iter}) & r_j \geq AP^{j,iter} \\ \text{a random position} & r_j < AP^{j,iter} \end{cases} \quad (15)$$

r_i : یک عدد تصادفی تحت توزیع یکنواخت در بازه صفر و یک برای کلاغ شماره j
 $AP^{j,iter}$: احتمال آگاهی کلاغ شماره j نسبت به تعقیب شدن در تکرار شماره iter در الگوریتم جستجوی کلاغ، تنوع و تمرکز توسط پارامتر احتمال آگاهی (AP) تنظیم می‌شوند. با کاهش مقدار AP، الگوریتم جستجوی کلاغ گرایش به اجرای عملیات جستجو در فضای نزدیک به پاسخ‌های مطلوب فعلی خواهد داشت. در نتیجه کاهش مقدار AP، معادل با افزایش تمرکز و انجام جستجوی محلی خواهد بود. با افزایش مقدار AP، احتمال جستجو در نزدیکی پاسخ‌های فعلی کاهش یافته و الگوریتم جستجوی کلاغ گرایش به اجرای عملیات جستجو در محدوده وسیعی از فضای جستجو خواهد داشت. در نتیجه افزایش مقدار AP، معادل با افزایش تنوع و انجام جستجوی سراسری خواهد بود. با توجه به توضیحات فوق، مراحل حل مسئله بهینه‌سازی توسط الگوریتم جستجوی کلاغ در ادامه ارائه خواهد شد [۲].



شکل ۴: الگوریتم حل مسئله جایابی و تعیین اندازه TCSC و SVC توسط الگوریتم جستجوی کلاغ

بنابراین هر یک از سطرهای ماتریس موقعیت کلاغها (Crows) (دارای ۴ بخش می‌باشد. در بخش نخست، برای هر یک از $TCSC$ ‌ها، مقدار راکتانس مشخص شده است. در بخش دوم، سوسپیتانسها SVC مشخص شده است. در بخش سوم تپ ترانسفورماتورها و در بخش چهارم، توان راکتیو تولیدی ژنراتورها مشخص شده است. بنابراین به طور نمونه در صورتی که قصد نصب دو عدد $TCSC$ و یک عدد SVC را داشته باشیم و تعداد ترانسفورماتورها برابر با یک و تعداد ژنراتورهای شبکه برابر با سه باشد، ماتریس موقعیت کلاغها مطابق رابطه (۱۹) خواهد بود.:

$$\text{Crows} = \begin{bmatrix} TCSC_1^1 & TCSC_2^1 & SVC_1^1 & T_1^1 & Q_{G1}^1 & Q_{G2}^1 & Q_{G3}^1 \\ TCSC_1^2 & TCSC_2^2 & SVC_1^2 & T_1^2 & Q_{G1}^2 & Q_{G2}^2 & Q_{G3}^2 \\ \vdots & \vdots & \vdots & \vdots & \vdots & \vdots & \vdots \\ TCSC_1^N & TCSC_2^N & SVC_1^N & T_1^N & Q_{G1}^N & Q_{G2}^N & Q_{G3}^N \end{bmatrix} \quad (19)$$

$TCSC_k^i$: راکتانس $TCSC$ شماره k برای کلاغ شماره i

SVC_k^i : سوسپیتانس SVC شماره k برای کلاغ شماره i

T_k^i : تپ ترانسفورماتور شماره k برای کلاغ شماره i

Q_{Gk}^i : توان راکتیو تولیدی ژنراتور شماره k برای کلاغ شماره i

- حال باید برای هر یک از کلاغها، مقدار تابع هدف مسئله توسط رابطه (۲) محاسبه شود.
- شمارش گر تکرارهای برنامه (iter) برابر با یک قرار داده می‌شود.
- موقعیت کلاغها بر اساس رابطه (۱۵) به روزرسانی می‌شود.
- امکان پذیری موقعیت جدید کلاغها بر اساس قبود (۶) تا (۱۲) بررسی می‌شود. در صورتی که موقعیت جدید

موقعیت جدید، قیود مسئله بهینه‌سازی و محدودیت متغیرهای تصمیم‌گیری را رعایت می‌کند. در صورتی که موقعیت جدید کلاغها، یک موقعیت ممکن باشد (قیود و محدودیتها را برآورده سازد)، کلاغ به موقعیت جدید حرکت نقل مکان خواهد کرد. در غیر این صورت، کلاغ در موقعیت قبلی خود باقی خواهد ماند [۲].

گام ۶: ارزیابی تابع هدف موقعیت‌های جدید

در این گام، مقدار تابع هدف مسئله برای موقعیت جدید کلاغها محاسبه خواهد شد [۲].

$$m^{i,iter+1} =$$

$$\begin{cases} x^{i,iter+1} & f(x^{i,iter+1}) \text{ is better than } f(m^{i,iter}) \\ m^{i,iter} & \text{otherwise} \end{cases} \quad (18)$$

گام ۷: بهروزرسانی حافظه کلاغها

در این گام، کلاغها حافظه خود را بر اساس رابطه زیر (۱۸) بهروزرسانی می‌کنند [۲]:

$$m^{i,iter} : \text{حافظه کلاغ شماره } i \text{ در تکرار شماره}$$

$$x^{i,iter+1} : \text{موقعیت کلاغ شماره } i \text{ در تکرار شماره } (iter+1)$$

$$f(x^{i,iter+1}) : \text{مقدار تابع هدف مسئله بهینه‌سازی برای}$$

$$x^{i,iter+1}$$

$$f(m^{i,iter}) : \text{مقدار تابع هدف مسئله بهینه‌سازی برای}$$

$$m^{i,iter}$$

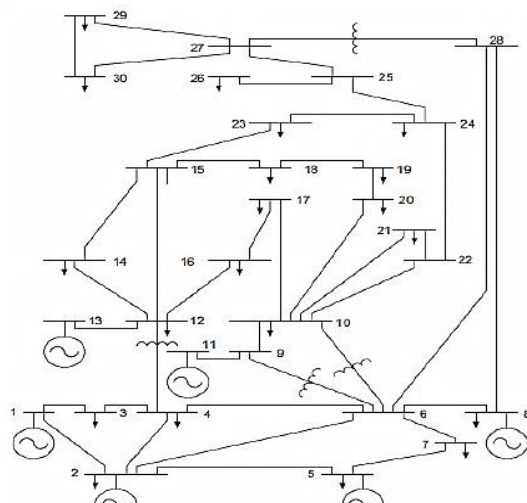
گام ۸: چک کردن شرط پایان

گام‌های ۴ تا ۷ تا هنگام رسیدن به حداقل تعداد تکرارها ($tier_{max}$) ادامه خواهد یافت. پس از رسیدن برنامه به حداقل تکرارها، حافظه‌ای که مقدار تابع هدف برای آن بهتر از سایر حافظه‌ها باشد، به عنوان پاسخ بهینه مسئله بهینه‌سازی انتخاب خواهد شد.

۱-۳- استفاده از الگوریتم جستجوی کلاغ برای حل مسئله جایابی و تعیین اندازه SVC و TCSC

در این بخش، نحوه استفاده از الگوریتم جستجوی کلاغ برای حل مسئله جایابی و تعیین اندازه SVC و TCSC مورد بررسی قرار خواهد گرفت. فلوچارت روش مورد استفاده در شکل (۴) نمایش داده شده است. مراحل کار به ترتیب: فراخوانی اطلاعات شبکه، محاسبات پخش بار AC و تعیین شاخص VCPI و از آنجا تعیین مکان نصب TCSC و SVC، مقداردهی حافظه و موقعیت کلاغها جهت تعیین اندازه ادوات FACTS، که متغیرهای تصمیم‌گیری آن عبارتند از:

- ظرفیت بهینه نصب TCSC (معادل با راکتانس TCSC)
- ظرفیت بهینه نصب SVC (معادل با سوسپیتانس SVC)
- وضعیت تنظیم تپ ترانسفورماتورها
- توان راکتیو تولیدی ژنراتورها



شکل ۵: دیاگرام شبکه ۳۰ شینه IEEE ۳۰ شینه

۴-۲- معرفی شبکه نمونه ۵۷ شینه IEEE

دیاگرام شبکه تست ۵۷ شین IEEE در شکل (۶) نمایش داده شده است [۱]. این شبکه دارای ۵۷ شین، ۷ واحد تولیدی و ۸۰ خط انتقال می‌باشد. بار اکتیو مصرفی این شبکه برابر با $1250/8$ MW و بار راکتیو مصرفی آن، $336/4$ MVar می‌باشد. مشابه شبکه تست ۳۰ شینه اطلاعات شین‌ها شامل بار اکتیو، راکتیو و سوسپیتانس خازنهای موازی شبکه [۳۰، ۲۹]، اطلاعات واحدهای تولیدی شامل شین محل نصب، حداقل و حداکثر توان اکتیو و راکتیو [۳۰، ۲۹] و اطلاعات خطوط شامل شماره شین ابتداء و انتهای خط، مقدار مقاومت، راکتانس و سوسپیتانس خط بر حسب p.u و همچنین مقدار تپ ترانس‌ها [۳۰، ۲۹] به عنوان ورودی به برنامه داده می‌شود. حداقل و حداکثر ولتاژ مجاز هر یک از شین‌های شبکه، به ترتیب برابر با 0.94 و 1.06 پریونیت می‌باشد. مقدار بهینه تپ این ترانسفورماتورها با حل مسئله بهینه‌سازی به دست خواهد آمد [۱، ۲۹، ۳۰]. سایر ورودی‌های برنامه مانند محدودیت‌های تصمیم‌گیری شامل حداقل و حداکثر تپ ترانسها، حداقل و حداکثر مجاز راکتانس TCSC، و حداقل و حداکثر مجاز سوسپیتانس SVC و ضرایب هزینه (α, β, γ) مربوط به تابع هزینه [۱] جزو ورودی‌های برنامه در هردو شبکه تست ۳۰ و ۵۷ شینه می‌باشد.

یک کلاغ، تمامی قیود فوق را برآورده نکند، آن موقعیت ممکن نبوده و کلاغ باید موقعیت قبلی خود را حفظ کند.

- برای هر یک از کلاغ‌ها، مقدار تابع هدف مسئله برای موقعیت جدید، توسط رابطه (۲) محاسبه می‌شود.
- حافظه کلاغ‌ها بر اساس رابطه (۱۸) به روزرسانی می‌شود.
- تعداد تکرارهای برنامه چک می‌شود. در صورتی که تکرارهای برنامه باقی مانده باشد، بار دیگر به روزرسانی، موقعیت کلاغ‌ها انجام می‌شود. در غیر این صورت، یعنی در حالتی که برنامه به پایان تکرارهای خود رسیده باشد، حافظه کلاغی که دارای کمترین تابع هدف (یعنی کمترین مقدار هزینه) است، به عنوان پاسخ بهینه مسئله بهینه‌سازی انتخاب می‌شود.

۴- نتایج شبیه‌سازی

در ادامه نتایج شبیه‌سازی کامپیوترا در نرم افزار MATLAB بر روی دو شبکه مورد آزمون ۳۰ شینه و ۵۷ شینه IEEE ارائه می‌شود. در ابتدا اطلاعات شبکه‌های نمونه ارائه شده و حالات مختلف شبیه‌سازی معرفی می‌گردد. برای این منظور نتایج شبیه‌سازی قبل و بعد از نصب ادوات FACTS ادوات FACTS ارائه خواهد شد. در انتها نیز مقایسه‌ای بین نتایج این تحقیق با نتایج مقاله مرجع [۱] انجام خواهد گرفت.

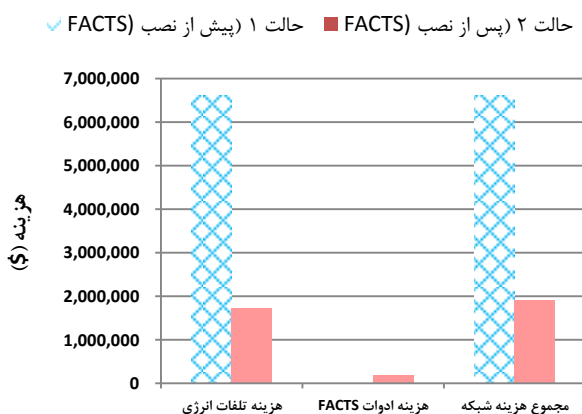
۴-۱- مقایسه نتایج شبیه‌سازی قبل و بعد از نصب ادوات FACTS در شبکه تست ۳۰ شینه

شبکه تست ۳۰ شینه IEEE شکل (۵) یکی از معترض‌ترین و پرکاربردترین شبکه‌های تست در مطالعات سیستم قدرت می‌باشد. [۱] این شبکه دارای ۳۰ شینه، ۶ واحد تولیدی و ۴۱ خط انتقال می‌باشد. بار اکتیو مصرفی این شبکه برابر با $282/4$ MW و بار راکتیو مصرفی آن، $126/2$ MVar می‌باشد. اطلاعات شین‌ها شامل بار اکتیو، راکتیو و سوسپیتانس خازنهای موازی شبکه [۳۰، ۲۹]، اطلاعات واحدهای خط، تولیدی شامل شین محل نصب، حداقل و حداکثر توان اکتیو و راکتیو [۳۰، ۲۹] و اطلاعات خطوط شامل شماره شین ابتداء و انتهای خط، مقدار مقاومت، راکتانس و سوسپیتانس خط بر حسب p.u و همچنین مقدار تپ ترانسها [۳۰، ۲۹] به عنوان ورودی به برنامه داده می‌شود. حداقل و حداکثر ولتاژ مجاز هر یک از شین‌های شبکه، به ترتیب برابر با 0.94 و 1.06 پریونیت می‌باشد. مقدار بهینه تپ این ترانسفورماتورها با حل مسئله بهینه‌سازی به دست خواهد آمد [۲، ۱، ۱].

FACTS $3/28$ MW و $3/8/79$ MVar برسند. در نتیجه نصب ادوات موجب $73/93\%$ کاهش در تلفات توان اکتیو و $20/5\%$ کاهش در تلفات توان راکتیو شده است.

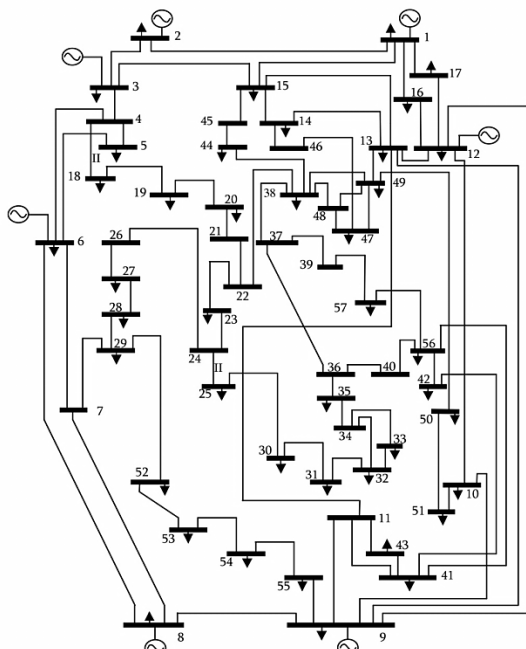
جدول ۱: تاثیر نصب ادوات FACTS بر شاخص‌های اصلی شبکه ۳۰

تاثیر نصب ادوات (%) FACTS	شاخص شبکه		
	حالت ۲ (پس از نصب FACTS)	حالت ۱ (پیش از نصب FACTS)	هزینه تلفات انرژی (\$)
-73.93%	1,725,143	6,617,894	هزینه تلفات (\$)
-	195,897	0	هزینه ادوات (\$)
-70.97%	1,921,040	6,617,894	مجموع هزینه شبکه (\$)
-73.93%	3.28	12.59	تلفات توان اکتیو (MW)
-2.05%	38.79	39.61	تلفات توان راکتیو (MVar)
-29.64%	0.5517	0.7841	شاخص انحراف ولتاژ (p.u.)



شکل ۷: تاثیر نصب ادوات FACTS بر هزینه‌های شبکه ۳۰ شبکه

مقدار شاخص انحراف ولتاژ شبکه در حالت ۱ برابر با $0/0.7841$ و در حالت ۲ برابر با $0/0.5517$ بوده است. در نتیجه نصب ادوات FACTS موجب $29/4\%$ کاهش در شاخص انحراف ولتاژ شبکه شده است که به معنای کاهش انحراف از ولتاژ یک پریونیت و بنابراین افزایش کیفیت ولتاژ شبکه می‌باشد. بررسی شکل(۷) و شکل(۸) نشانگر این است که نصب ادوات FACTS در شبکه ۳۰ شبکه نه تنها هزینه‌های شبکه را کاهش داده، بلکه با کاستن از تلفات توان‌های اکتیو و راکتیو و بهبود کیفیت ولتاژ شبکه، کارایی شبکه را از هر دو منظر فنی و اقتصادی بهبود بخشیده است.



شکل ۶: دیاگرام شبکه ۵۷ شبکه [۳۱] IEEE

۴-۳- مقایسه نتایج شبیه‌سازی قبل و بعد از نصب ادوات FACTS در شبکه تست ۳۰ شبکه

در این بخش نتایج شبکه ۳۰ شبکه قبل و بعد از نصب ادوات FACTS (SVC و TCSC) بررسی و مقایسه خواهد شد.

۴-۳-۱- مقایسه تاثیر نصب ادوات FACTS بر شاخص‌های اصلی شبکه ۳۰ شبکه

مقایسه شاخص‌های اصلی این شبکه در حالت ۱ (قبل از نصب ادوات FACTS) و حالت ۲ (بعد از نصب ادوات FACTS) در جدول (۱) آرایه شده است. در ستون آخر این جدول نیز نتایج حالت ۲ با حالت ۱ مقایسه شده تا تاثیر نصب ادوات FACTS بر نتایج مشخص گردد. بررسی این جدول نشانگر نکات زیر می‌باشد:

در حالت ۱ هزینه‌های شبکه تنها شامل هزینه تلفات انرژی بوده که برابر با $6617894\$$ می‌باشد. در حالت ۲ اگرچه نصب ادوات FACTS نیازمند صرف هزینه‌ای بالغ بر $195897\$$ بوده است، اما موجب $73/93\%$ کاهش در هزینه تلفات انرژی شده است. در نتیجه مقدار کل هزینه شبکه در حالت ۲ برابر با $1921040\$$ بوده است که در مقایسه با حالت ۱ به میزان $70/97\%$ کاهش داشته است. بنابراین همانطور که در شکل(۷) نیز نمایش داده شده است، نتایج این بخش نشانگر این است که نصب ادوات FACTS تاثیر قابل توجهی بر کاهش مجموع هزینه‌های شبکه قدرت دارد.

در حالت ۱ تلفات توان اکتیو و راکتیو به ترتیب برابر با $12/59$ MW و $39/61$ MVar بوده است. نصب ادوات FACTS در حالت ۲ موجب شده تلفات توان اکتیو و راکتیو دچار کاهش شده و به ترتیب به مقدار

۴-۳-۲ مقایسه نتایج شبیه‌سازی الگوریتم بهینه‌سازی و ال - WOA و الگوریتم جستجوی کلاغ CSA در شبکه مورد آزمون ۳۰ شینه [۱]

به منظور مقایسه تأثیر نصب SVC و TCSC بر شبکه ۳۰ شینه، توسط دو الگوریتم بهینه سازی وال و الگوریتم جستجوی کلاغ، دو شاخص اصلی شبکه بعد از نصب ادوات FACTS در جدول (۲) ارائه شده است.

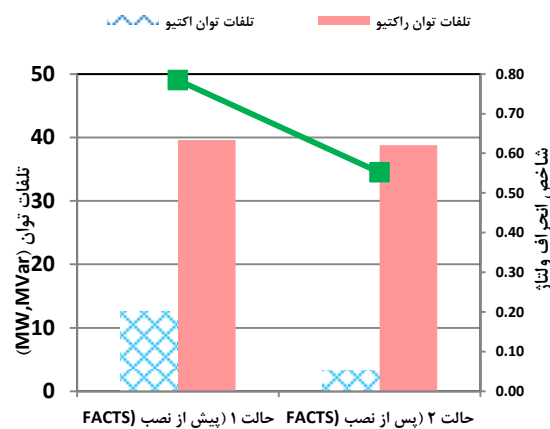
جدول ۲: مقایسه تأثیر نصب ادوات FACTS بر دو شاخص اصلی توان اکتیو و مجموع هزینه‌ها در شبکه ۳۰ شینه

دوالگوریتم (%)	تأثیر عملکرد	پس از نصب با FACTS	پس از با الگوریتم WOA	مجموع هزینه شبکه (\$)
-7.06%	1,921,040	2,066,900		
-7.34%	3.28	3.54	توان اکتیو (MW)	

در حالت شبیه سازی با الگوریتم WOA مقدار کل هزینه شبکه برابر با \$ ۲۰۶۹۰۰ بوده است که در مقایسه با حالت شبیه سازی با الگوریتم CSA که برابر \$ ۱۹۲۱۰۴۰ میباشد میزان ۷۰۶٪ کاهش داشته است. که این کاهش نشانگر این است که شبیه سازی با الگوریتم CSA بعد از نصب ادوات FACTS تأثیر بیشتری در کاهش مجموع هزینه‌های شبکه قدرت نسبت به الگوریتم WOA دارد. در حالت شبیه سازی با الگوریتم WOA مقدار تلفات توان اکتیو برابر با ۳/۵۴ MW بوده است که در مقایسه با حالت شبیه سازی با الگوریتم CSA که برابر با ۳/۲۸ MW میباشد به میزان ۷۳٪ کاهش داشته است. این کاهش نشانگر این است که شبیه سازی با الگوریتم CSA بعد از نصب ادوات FACTS تأثیر بیشتری در کاهش تلفات توان اکتیو شبکه قدرت نسبت به الگوریتم WOA دارد.

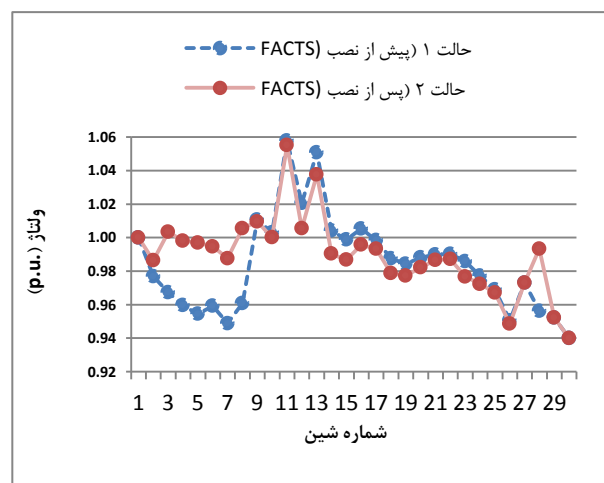
۴-۴ مقایسه نتایج شبیه‌سازی قبل و بعد از نصب ادوات FACTS در شبکه تست ۵۷ شینه

در این بخش نتایج شبکه ۵۷ شینه قبل و بعد از نصب ادوات FACTS (SVC و TCSC) بررسی و مقایسه خواهد شد.



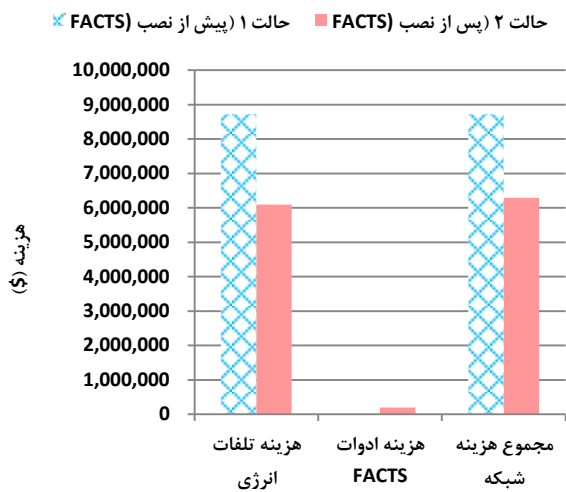
شکل ۸: تأثیر نصب ادوات FACTS بر تلفات و شاخص انحراف ولتاژ شبکه ۳۰ شینه

نمودار ولتاژ شینه‌های شبکه ۳۰ شینه در حالت ۱ (قبل از نصب ادوات FACTS) و حالت ۲ (بعد از نصب ادوات FACTS) در شکل (۹) نمایش داده شده است. نصب ادوات FACTS موجب شده افت ولتاژ شدید در شینه‌های ۲ تا ۸ جبران شده و ولتاژ این شینه‌ها به مقدار یک پریونیت نزدیک شود. همین موضوع موجب شده که مطابق جدول (۱) شاخص انحراف ولتاژ در حضور ادوات FACTS به میزان ۴۶/۶۹٪ کاهش یابد. در مجموع نیز مقدار متوسط ولتاژ شینه‌های شبکه در حالت ۱ برابر با ۰/۹۸۴۰ پریونیت و در حالت ۲ برابر با ۰/۹۸۹۴ پریونیت بوده است. در نتیجه نصب ادوات FACTS موجب افزایش متوسط ولتاژ شینه‌های شبکه به میزان ۵۴/۰۰٪ پریونیت شده است.

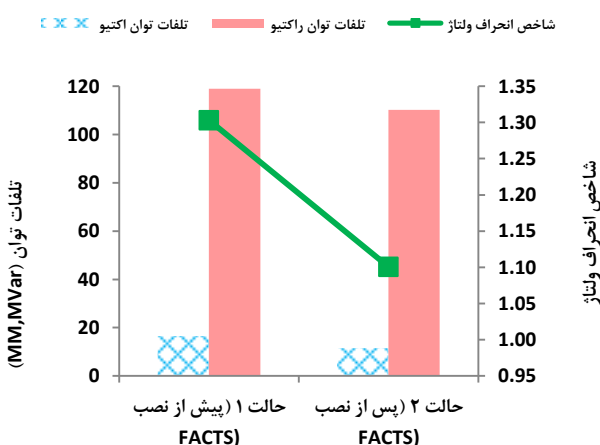


شکل ۹: تأثیر نصب ادوات FACTS بر ولتاژ شینه‌های شبکه ۳۰ شینه

پریونیت و بنابراین افزایش کیفیت ولتاژ شبکه می‌باشد. لذا مشاهده می‌شود که در شبکه ۵۷ شینه نیز مشابه با شبکه ۳۰ شینه، نصب ادوات FACTS شاخص انحراف ولتاژ را کاهش داده است. بررسی شکل (۱۰) و شکل (۱۱) نشانگر این است که در شبکه ۵۷ شینه مشابه با شبکه ۳۰ شینه، نصب ادوات FACTS نه تنها هزینه‌های شبکه را کاهش داده، بلکه با کاستن از تلفات توان‌های اکتیو و راکتیو و بهبود کیفیت ولتاژ شبکه، کارایی شبکه را از هر دو منظر فنی و اقتصادی بهبود بخشیده است.



شکل ۱۰: تاثیر نصب ادوات FACTS بر هزینه‌های شبکه ۵۷ شینه



شكل ١١: تأثير نصب أدوات FACTS على تلفات وشائن انحراف ولتاژ شبکه

نمودار ولتاژ شین‌های شبکه در حالت ۱ (قبل از نصب ادوات FACTS) و حالت ۲ (بعد از نصب ادوات FACTS) در شکل (۱۲) نمایش داده است. همانطور که در این شکل مشاهده می‌شود، نصب ادوات FACTS موجب شده افت ولتاژ شدید در شین‌های ۲۶، ۳۰ تا ۳۶ و نیز شین‌های ۵۶ و ۵۷ جبران شده و ولتاژ این شین‌ها به مقدار یک پریونیت نزدیک شود. همین موضوع موجب شده که مطابق (۳)، ساختار انجراف ولتاژ در حضور ادوات FACTS به میزان حدوداً

-۱-۴-۴-۴- مقایسه تأثیر نصب ادوات FACTS بر شاخص های اصلی شبکه ۵۷ شینه

جدول ۳: تاثیر نصب ادوات FACTS بر شاخص‌های اصلی شبکه ۵۷ شینه

تاثیر نصب ادوات	(%) FACTS	حالت ۲ (بعد از نصب)	حالت ۱ (قبل از نصب)	
-30.03%	6,098,477	8,716,201	هزینه تلفات انرژی (\$)	
-	195,913	0	هزینه ادوات FACTS (\$)	
-27.79%	6,294,390	8,716,201	مجموع هزینه شبکه (\$)	
-30.03%	11.60	16.58	تلفات توان اکتیو (MW)	
-7.34%	110.25	118.99	تلفات توان راکتیو (MVar)	
-15.53%	1.1007	1.3031	شاخص انحراف ولتاژ (p.u.)	

مقایسه شاخص های اصلی این شبکه در حالت ۱ (قبل از نصب ادوات FACTS) و حالت ۲ (بعد از نصب ادوات FACTS) در جدول (۳) ارائه شده است. در سیرون آخر این جدول نیز نتایج حالت ۲ با حالت ۱ مقایسه شده تا تاثیر نصب ادوات FACTS بر نتایج مشخص گردد.

بررسی این جدول نشانگر نکات زیر می‌باشد:

در حالت ۱ هزینه‌های شبکه تنها شامل هزینه تلفات انرژی بوده که برابر با \$ ۸۷۱۶۲۰ می‌باشد. در حالت ۲ اگرچه نصب ادوات FACTS نیازمند صرف هزینه‌ای بالغ بر \$ ۱۹۵۹۱۳ بوده است، اما موجب $30/0\%$ کاهش در هزینه تلفات انرژی شده است. در نتیجه مقدار کل هزینه شبکه در حالت ۲ برابر با \$ ۶۲۹۴۳۹۰ بوده است که در مقایسه با حالت ۱ به میزان $27/79\%$ کاهش داشته است. بنابراین همانطور که در شکل (۱۰) نیز نمایش داده شده است، نتایج این بخش نشانگر این است که مشابه با شبکه 30 شینه، در شبکه 57 شینه نیز نصب ادوات FACTS تاثیر قابل توجهی بر کاهش مجموع هزینه‌های شبکه قدرت دارد. در حالت ۱ تلفات توان اکتیو و راکتیو به ترتیب برابر با $16/58$ MW و $118/99$ MVar بوده است. نصب ادوات FACTS در حالت ۲ موجب شده تلفات توان اکتیو و راکتیو دچار کاهش شده و به ترتیب به مقدار $11/60$ MW و $110/25$ MVar برسد. در نتیجه نصب ادوات FACTS موجب $30/0\%$ کاهش در تلفات توان راکتیو شده است. بنابراین مشاهده می‌شود که در شبکه 57 شینه نیز مشابه با شبکه 30 شینه، نصب ادوات FACTS تلفات توان‌های اکتیو و راکتیو را کاهش داده است. مقدار شاخص انحراف ولتاژ شین‌های شبکه در حالت ۱ برابر با $1/30.31$ و در حالت ۲ برابر با $1/100.7$ بوده است. در نتیجه نصب ادوات FACTS موجب $15/53\%$ کاهش در شاخص انحراف ولتاژ نهاده است که به معناء کاهش افراطی است.

CSA بعد از نصب ادوات FACTS تاثیر بیشتری در کاهش تلفات توان اکتیو شبکه قدرت نسبت به الگوریتم WOA دارد.

جدول ۴: مقایسه تاثیر نصب ادوات FACTS بردو شاخص اصلی توان اکتیو و مجموع هزینه ها در شبکه ۵۷ شینه [۱].

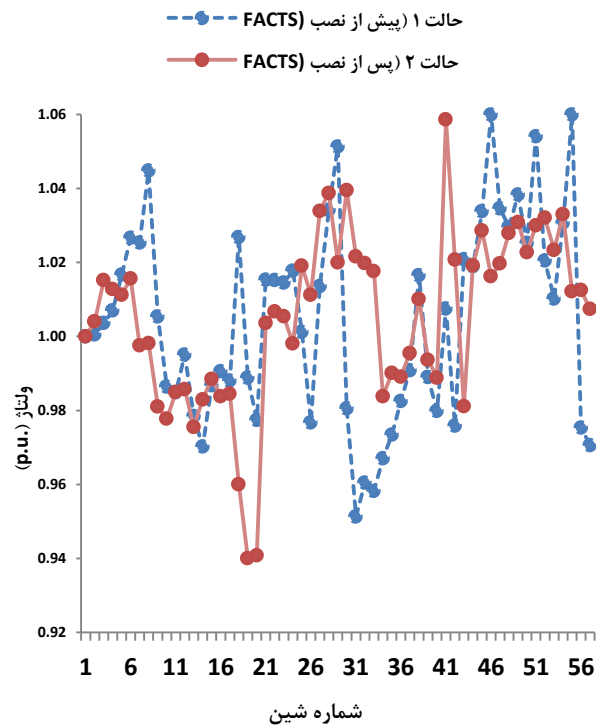
تاثیر نسبی	پس از نصب	پس از نصب	مجموع هزینه
عملکرد	با FACTS	با الگوریتم	شبکه (\$)
دواگوریتم (%)	الگوریتم CSA	WOA	تلفات توان اکتیو (MW)
-41.57 %	6,294,390	10,775,000	شبکه (\$)
-37.12 %	11.60	18.45	تلفات توان اکتیو (MW)

۵- نتیجه گیری

در این مقاله، جایابی و تعیین اندازه SVC و TCSC و جهت بهبود شرایط بهره برداری سیستم های قدرت با استفاده از الگوریتم جستجوی کلاغ ارائه گردید. در فصل نخست مقدمه تحقیق ارائه شد. سپس در فصل دوم مروری بر مطالعات پیشین انجام گرفت. در فصل سوم روش جایابی و تعیین اندازه SVC و TCSC معرفی گردید. در فصل چهارم نیز نتایج شبیه سازی ارائه و تحلیل شد. نتایج حاصل از این تحقیق را می توان به صورت زیر بیان نمود:

- الگوریتم جستجوی کلاغ در هر دو مورد موفق شد با کاستن از تابع هدف مسئله، به سمت پاسخ بهینه همگرا شود. به دلیل افزایش تعداد متغیرهای مسئله در شبکه ۵۷ شینه نسبت به شبکه ۳۰ شینه، سرعت همگرایی این الگوریتم برای شبکه ۵۷ شینه کمتر از شبکه ۳۰ شینه بوده است. با این وجود در هر دو الگوریتم پیش از تکرار شماره ۷۰۰ همگرایی به سمت پاسخ بهینه رخ داده است.
- الگوریتم جستجوی کلاغ در تمامی حالات شبیه سازی موفق شده قیود مسئله بهینه سازی را برآورده سازد. از جمله این قیود، محدودیت های ولتاژ شبکه و محدودیت های حداقل و حداکثر مجاز متغیرهای تصمیم گیری مسئله بوده است. در نتیجه این الگوریتم ضمن همگرایی به سمت پاسخ بهینه، توانایی بالای در تامین قیود مسئله بهینه سازی دارد.
- نصب SVC و TCSC در مورد هر دو شبکه ۳۰ شینه و ۵۷ شینه موجب کاهش در تلفات توان اکتیو و راکتیو شده است. کاهش در تلفات توان اکتیو به معنای کاهش نیاز به تولید توان توسط واحد های تولیدی است که خود منجر به افزایش کارایی شبکه و کاهش هزینه ها خواهد شد. کاهش تلفات توان راکتیو نیز به معنای کاهش نیاز به تولید توان راکتیو است که در مجموع موجب افزایش کارایی شبکه خواهد شد.
- نصب TCSC و SVC در مورد هر دو شبکه ۳۰ شینه و

۱۵/۵٪ کاهش یابد. در مجموع نیز مقدار متوسط ولتاژ شین های شبکه در حالت ۱ برابر با ۱/۰۰۴۵ پریونیت و در حالت ۲ برابر با ۱/۰۰۵۳ پریونیت بوده است. در نتیجه نصب ادوات FACTS موجب افزایش متوسط ولتاژ شین های شبکه به میزان ۸/۰۰۰۸ پریونیت شده است.



شکل ۱۲: تاثیر نصب ادوات FACTS بر ولتاژ شین های شبکه ۵۷ شینه

۴-۴-۲- مقایسه نتایج شبیه سازی الگوریتم بهینه سازی وال و OWA و الگوریتم جستجوی کلاغ CSA در شبکه ۵۷ شینه [۱]

به منظور مقایسه تاثیر نصب SVC و TCSC بر شبکه ۵۷ شینه، توسط دو الگوریتم بهینه سازی وال و الگوریتم جستجوی کلاغ، دو شاخص اصلی شبکه بعد از نصب ادوات FACTS در جدول (۴) ارائه شده است. در حالت شبیه سازی با الگوریتم WOA مقدار کل هزینه شبکه برابر با \$ ۱۰۷۷۵۰۰ بوده است که در مقایسه با حالت شبیه سازی با الگوریتم CSA که برابر با \$ ۶۲۹۴۳۹۰ میباشد میزان ۴۱/۵٪ کاهش داشته است. که این کاهش نشانگر این است که شبیه سازی با الگوریتم CSA بعد از نصب ادوات FACTS تاثیر بیشتری در کاهش مجموع هزینه های شبکه قدرت نسبت به الگوریتم WOA دارد. در حالت شبیه سازی با الگوریتم WOA مقدار تلفات توان اکتیو برابر با ۱۸/۴۵ MW بوده است که در مقایسه با حالت شبیه سازی با الگوریتم CSA که برابر با ۱۱/۶ MW میباشد به میزان ۳۷/۱۲٪ کاهش داشته است. که این کاهش نشانگر این است که شبیه سازی با الگوریتم

- power systems”, Renewable and Sustainable Energy Reviews*, Vol. 42, pp. 846-882.
- [11] A.R. Jordehi, 2015, “*Particle swarm optimisation (PSO) for allocation of FACTS devices in electric transmission systems: A review*”, *Renewable and Sustainable Energy Reviews*, Vol. 52, pp. 1260-1267.
- [12] K. Ravi, M. Rajaram, 2013, “*Optimal location of FACTS devices using Improved Particle Swarm Optimization*”, *Electrical Power and Energy Systems*, Vol. 49, pp. 333-338.
- [13] B. Bhattacharyya, V.K. Gupta, 2014, “*Fuzzy based evolutionary algorithm for reactive power optimization with FACTS devices*”, *Electrical Power and Energy Systems*, Vol. 61, pp. 39-47.
- [14] M. Mohammadalizadeh-Shabestary, H. Hashemi-Dezaki, S. Mortazavian, H. Askarian-Abyaneh, 2015, “*A general approach for optimal allocation of FACTS devices using equivalent impedance models of VSCs*”, *International Transactions on Electrical Energy Systems*, Vol. 25, pp. 1187-1203.
- [15] B. Bhattacharyya, S. Kumar, 2015, “*Reactive power planning with FACTS devices using gravitational search algorithm*”, *Ain Shams Engineering Journal*, Vol. 6, pp. 865-871.
- [16] Bhattacharyya, V.K. Gupta, 2014, “*Fuzzy Genetic Algorithm Approach for the Optimal Placement of Flexible AC Transmission Systems Devices in a Power System*”, *Electric Power Components and Systems*, Vol. 42, pp 779-787.
- [17] B. Bhattacharyya, S. Kumar, 2016, “*Loadability enhancement with FACTS devices using gravitational search algorithm*”, *Electrical Power and Energy Systems*, Vol. 78, pp. 470-479.
- [18] B. Bhattacharyya, S. Raj, 2016, “*Swarm intelligence based algorithms for reactive power planning with Flexible AC transmission system devices*”, *Electrical Power and Energy Systems*, Vol. 78, pp. 158-164.
- [19] M. Packiasudha, S. Suja, J. Jerome, 2017, “*A new Cumulative Gravitational Search algorithm for optimal placement of FACT device to minimize system loss in the deregulated electrical power environment*”, *Electrical Power and Energy Systems*, Vol. 84, pp. 34-46.
- [20] N.A. Salim, N. Ismail, M.M. Othman, 2017, “*Application of Evolutionary Programming for the Placement of TCSC and UPFC for Minimisation of Transmission Losses and Improvement of Voltage Profile*”, *Pertanika Journal of Science and Technology*, Vol. 25, pp. 231-238.
- [21] K. Kavitha, R. Neela, 2017, “*Optimal allocation of multi-type FACTS devices and its effect in enhancing system security using BBO, WIPSO & PSO*”, *Journal of Electrical Systems and Information Technology*, In Press, Corrected Proof.
- [22] R. Mohammadi, M. Mahdavian, 2017, “*Power Systems Optimal Placement And Sizing Of STATCOM in Multi-Objective Optimization Approach And Using NSGA-II Algorithm*”, *International Journal of Computer Science and Network Security*, Vol. 17, pp. 51-58.
- [23] S.D. Nascimento, M.M. Gouvea, “*Voltage stability enhancement in power systems with automatic facts device allocation*”, 2017, ” *Energy Procedia*, Vol. 107, pp. 60-67.
- [24] X. Zhang, K. Tomsovic, A. Dimitrovski, 2018, “*Optimal allocation of series FACTS devices in large-scale systems*”, *IET Generation, Transmission & Distribution*, Vol. 12, pp. 1889-1896.
- [25] X. Zhang, D. Shi, Z. Wang, B. Zeng, X. Wang, K. Tomsovic, Y. Jin, 2018, “*Optimal Allocation of Series*

۵۷ شینه موجب بهبود متوسط ولتاژ شینهای شبکه و کاهش شاخص انحراف ولتاژ شده است. بنابراین SVC و TCSC موجب بهبود پروفیل ولتاژ شبکه و نزدیکتر شدن مقادیر ولتاژ به مقدار یک پریونیت شده‌اند. ۵- نصب SVC و TCSC در مورد هر دو شبکه ۳۰ شینه و ۵۷ شینه اگرچه هزینه نصب ادوات FACTS را بر شبکه تحمیل کرده است، اما به دلیل کاستن از تلفات توان اکتبیو، مجموع هزینه‌های شبکه را به طور قابل توجهی کاهش داده است. این نتایج نشان‌گر این است که SVC و TCSC علاوه بر بهبود کارایی شبکه از منظر فنی (با کاهش تلفات و بهبود ولتاژ)، کارایی شبکه را از منظر اقتصادی نیز بهبود بخشیده است.

مراجع

- [1] S. Raj, B. Bhattacharyya, 2018, “*Optimal placement of TCSC and SVC for reactive power planning using Whale optimization algorithm*”, *Swarm and Evolutionary Computation*, Vol. 40, pp. 131-143.M. J. Sannella, “*Constraint Satisfaction and Debugging for Interactive User Interfaces*”, Ph.D. Thesis, University of Washington, Seattle, WA, 1994.
- [2] A. Askarzadeh, 2016, “*A novel metaheuristic method for solving constrained engineering optimization problems: Crow search algorithm*”, *Computers and Structures*, Vol. 169, pp. 1-12.R. Plamondon and G. Lorette, “*Automatic Signature Verification and Writer Identification - The State of the Art*”, *Pattern Recognition*, Vol. 22, pp. 107-131, 1989.
- [3] S. Gupta, R.K. Tripathi, R.D. Shukla, 2010, “*Voltage Stability Improvement in Power Systems using Facts Controllers: State-of-the-Art Review*”, proceeding on International Conference on Power, Control and Embedded Systems, Allahabad, India.
- [4] G. Tembhurnikar, A. Chaudhari, N. Wani, A. Gajare, 2014, “*A Review on Reactive Power Compensation Techniques using FACTS Devices*”, *International Journal of Engineering and Management Research*, Vol. 4, pp. 76-80.
- [5] F.H. Gandoman, A. Ahmadi, A.M.; Sharaf, P. Siano, J. Pou, B. Hredzak, V.G. Agelidis, 2018 “*Review of FACTS technologies and applications for power quality in smart grids with renewable energy systems*,” *Renewable and Sustainable Energy Reviews*, Vol. 82, pp. 502-514.
- [6] G. Arcia-Garibaldi, P. Cruz-Romero, A. Gómez-Expósito, 2018, “*Future power transmission: Visions, technologies and challenges*”, *Renewable and Sustainable Energy Reviews*, Vol. 94, pp. 285-301.
- [7] R.K. Bindal, 2014, “*A Review of Benefits of FACTS Devices in Power System*”, *International Journal of Engineering and Advanced Technology*, Vol. 3, pp. 104-108.
- [8] R. Hemmati, R.A. Hooshmand, A. Khodabakhshian, 2013, “*Comprehensive review of generation and transmission expansion planning*”, *IET Generation, Transmission & Distribution*, Vol. 7, pp. 955-964.
- [9] T.S. Kishore, S.K. Singal, 2014 “*Optimal economic planning of power transmission lines: A review*,” *Renewable and Sustainable Energy Reviews*, Vol. 39, pp. 949-974.
- [10] B. Singh, V. Mukherjee, P. Tiwari, 2015, “*A survey on impact assessment of DG and FACTS controllers in*

رزومه



نوراله نوری نژاد در دزفول متولد شده است. تحصیلات دانشگاهی در مقطع کارشناسی برق شبکه‌های انتقال و توزیع را در دانشگاه جامع علمی کاربردی اصفهان(۱۳۸۳) و مقطع کارشناسی ارشد برق- قدرت را در دانشگاه آزاد اسلامی واحد دزفول(۱۳۹۸) گذرانده است. زمینه‌های پژوهشی و علاقه‌مندی ایشان بررسی و کنترل توان راکتیو در شبکه‌های انتقال نیروی واقعی می‌باشد.

FACTS Devices Under High Penetration of Wind Power Within a Market Environment”, IEEE Transactions on Power Systems, In Press, Corrected Proof.

- [26] R. Agrawal, S.K. Bharadwaj, D.P. Kothari, 2018, “Population based evolutionary optimization techniques for optimal allocation and sizing of Thyristor Controlled Series Capacitor”, Journal of Electrical Systems and Information Technology, In Press, Corrected Proof.
- [27] A.S. Adail, H.M. Hassan, M.K. Shaat, 2018, “Safety and reliability of the electrical system based on optimal FACTS allocation for a research reactor”, Progress in Nuclear Energy, Vol. 104, pp. 143-149.
- [28] Pal, B.B.; Biswas, P.; Mukhopadhyay, A.; 2013, “GA Based FGP Approach for Optimal Reactive Power Dispatch”, Procedia Technology, Vol. 10, pp. 464-473.
- [29] Christie, R.; 1993, "University of Washington power systems test case archive," [Online]. Available: <http://labs.ece.uw.edu/pstca>
- [30] Zimmerman, R.D.; Murillo-Sánchez, C.E.; Thomas, R.J.; 2011, "MATPOWER: Steady-State Operations, Planning and Analysis Tools for Power Systems Research and Education," IEEE Transactions on Power Systems, Vol. 26, pp. 12-19, [Online]. Available::
- [31] Anand, R.; Balaji, V.; 2015, “Power Flow Analysis of Simulink IEEE 57 Bus Test System Model using PSAT”, Indian Journal of Science and Technology, Vol. 8, pp. 1-9.

Optimal Placement and Sizing of TCSC & SVC for Improvement Power System Operation using Crow Search Algorithm

Noorallah Noorinezhad^{1,*}

*1-Senior Electrical Engineer, Khuzestan Regional Electric Company, Ahwaz, Iran
noori478@yahoo.com

Abstract: The need for more efficient power systems has prompted the use of a new technologies includes Flexible AC transmission system (FACTS) devices. FACTS devices provides new opportunity for controlling the line power flow and minimizing losses while maintaining the bus voltages within a permissible limit. In this thesis a new method is proposed for optimal placement and sizing of Thyristor controlled series compensator (TCSC) and Static VAR compensator (SVC) for improvement power system operation using crow search algorithm. Optimal place for installation of TCSC and SVC is determined based on line's reactive power flow and voltage collapse proximity indication (VCPI), respectively. Optimal size of FACTS devices as long as reactive power of generating units and optimal tap of transformers is computed by solving an optimization problem. The objective function is defined as minimizing the sum of the network costs includes costs of energy losses and costs of FACTS devices. Crow search algorithm is a novel metaheuristic optimization method that inspired from the intelligent behavior of crows in storing and retrieving foods. That's this thesis is used for the first time in optimal placement and sizing of TCSC and SVC. The proposed method is simulated on IEEE 30 bus and 57 bus sample networks in MATLAB environment. Simulation results shows that crow search algorithm converges to optimal solution while meets all technical constraints. And Improves the power system efficiency.

Keywords: Flexible AC transmission system (FACTS); Thyristor controlled series compensator (TCSC); Static VAR compensator (SVC); Voltage collapse proximity indication (VCPI); Crow search algorithm.